УДК 535:612.84

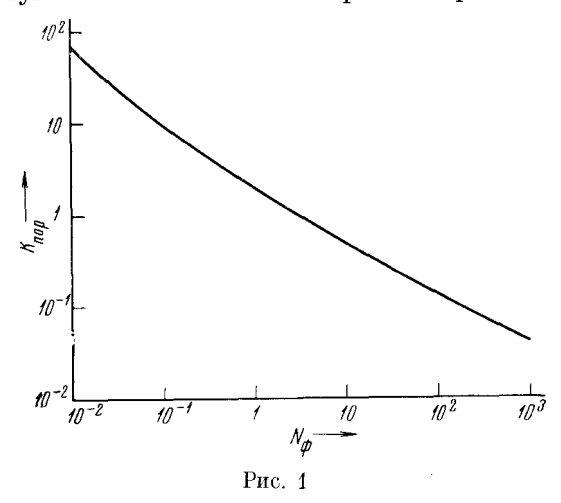
БИОФИЗИКА

Е. С. РАТНЕР, Ю. З. МАЦКОВСКАЯ

ЭЛЕМЕНТАРНАЯ ТЕОРИЯ ПОРОГОВЫХ ЗАКОНОМЕРНОСТЕЙ СУМЕРЕЧНОГО ЗРЕНИЯ

(Представлено академиком И. К. Кикоиным 3 III 1972)

Идея А. А. Лебедева о флуктуационной природе закономерностей зрительного восприятия, основанная на визуальном наблюдении С. И. Вавиловым и его сотрудниками квантовых флуктуаций света (1, 2), оказалась весьма плодотворной для развития физической теории зрения. Так, Роуз (3) и Луизов (4) впервые дали, исходя из постоянства порогового отношения сигнал/шум, физическое объяснение увеличению контрастной чувствительности глаза с ростом яркости. Учет собственных флуктуаций



сигнала позволил объяснить природу законов Рикко и Пипера и зависимость порога от знака контраста (5). Однако как в этих работах, так и в других, более поздних, публикациях, например $\binom{6}{7}$, задача обнаружения рассматривалась без учета специфики двумерности. Задача решалась поэтому только точностью до некоторого постоянного множителя. позволяло описать лишь ход закономерностей зрительного восприятия без получения абсолютных значений пороговых величин.

Попытаемся получить решение задачи с помощью простейшей двумерной модели обнаружения объекта на равномерном флуктуирующем фоне, считая глаз в условиях сумеречного зрения идеальным приемником, фиксирующим каждый эффективно поглощенный квант и не имеющим собственных шумов.

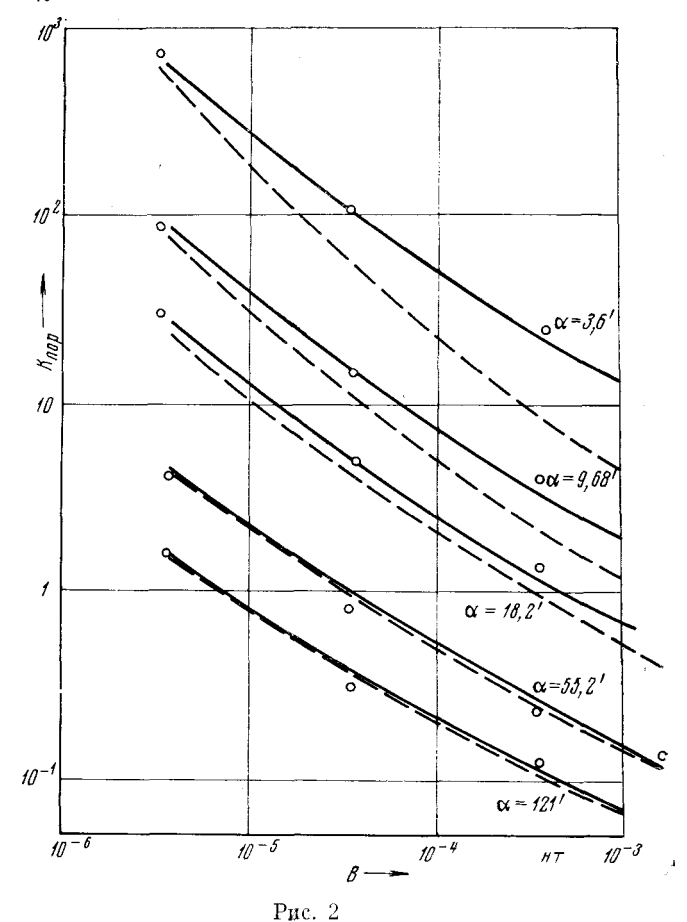
Пусть наблюдателю предъявляется объект — пятно, отличающееся по яркости от окружающего фона. Можно ожидать, что объект будет обнаруживаться при условии, если число квантов $N_{\rm of}$, эффективно поглощенных в его изображении на сетчатке, будет больше соответствующего числа квантов $N_{\rm of}$ в изображении каждого из окружающих его фоновых элементов равного углового размера. Из условий симметрии и сплотного заполнения пространства объекту и каждому элементу фона можно приписать форму правильного шестиугольника.

Вероятность обнаружения объекта для такой «сотовой» модели описывается выражением

$$P_{\text{obs}} = \sum_{i=1}^{\infty} P_{N_{\text{ob}} = i} \ P_{N_{\Phi} \leqslant i-1}^{6}, \tag{1}$$

где i — последовательные числа натурального ряда; $P_{N_{00}}$ — вероятность случайного значения i для величины N_{00} ; $P_{N_{\Phi} \leqslant i-1}$ — вероятность того, что случайное значение величины N_{Φ} будет меньше числа i (13).

С помощью выражения (1) можно получить для заданной вероятности обнаружения зависимость порогового контраста $K_{\rm пор}$ от среднего числа квантов $\overline{N}_{\rm ф}$. На рис. 1 показана такая зависимость для вероятности обнаружения 50%.



Число квантов \overline{N}_{Φ} , эффективно поглощенных светочувствительным веществом сетчатки, равно:

$$\overline{N}_{\Phi} = 6.65 \cdot 10^{-8} \cdot B\alpha^2 S_{\rm sp} \theta n \tau \varepsilon, \tag{2}$$

где B — яркость фона (в нитах); α — угловой размер объекта (в мин.); $S_{\rm зp}$ — эффективная (с учетом эффекта Стайлса — Крауфорда) площадь зрачка (в м²); θ — время инерции глаза (в сек.); n — число квантов (в сек.) с длиной волны λ = 0,51 μ (максимум сумеречной чувствительности глаза), эквивалентное по воздействию на глаз одному люмену светового потока; τ — коэффициент пропускания глазных сред до сетчатки (с учетом потерь на отражение); ϵ — квантовый выход сетчатки в максимуме чувствительности.

Для сумеречного зрения ($B \le 10^{-3}$ нт) $S_{\rm 3p} = 2.4 \cdot 10^{-5}$ м² (8), $\theta = 0.2$ сек. (8). Для стандартного источника A, используемого при измерениях характеристик зрения, $n = 2.16 \cdot 10^{15}$ квант/лм·сек (8); $\tau = 48\%$, $\varepsilon = 4\%$ (9).

На рис. 2 пунктиром показаны расчетные зависимости $K_{\text{пор}} = f(B)$, полученные для указанных значений величин с помощью рис. 1, точка-

ми — экспериментальные результаты известной работы Блеквелла (10). Расчеты выполнены в соответствии с условиями опыта: наблюдение двумя глазами, порог соответствует 50% вероятности обнаружения объекта.

Результаты расчета хорошо согласуются с опытными данными, за исключением области малых угловых размеров объекта, где его изображение на сетчатке должно заметно увеличиваться из-за несовершенства оптической системы глаза. Эффективный угловой размер $\alpha_{\text{эф}}$ изображения объекта углового размера α может быть приближенно определен из выражения: $\alpha_{\text{эф}} = \sqrt{\alpha^2 + \delta^2}$, где δ — эффективный угловой размер кружка рассеяния оптической системы глаза. Принятое здесь квадратичное суммирование кружков, строго говоря, справедливо только для гауссовского закона распределения яркости объекта и гауссовской формы функции рассеяния оптической системы.

Для сумеречного зрения эффективный размер кружка рассеяния можно принять равным $10' \div 15'$ (данные (11) с поправкой из (12) на периферическое наблюдение при низких уровнях яркости). На рис. 2 сплошными кривыми показана зависимость $K_{\text{пор}} = f(B)$, рассчитанная с учетом несовершенства глаза. Совпадение расчетных и экспериментальных данных не только по ходу закономерностей, по и по абсолютным значениям порогового контраста подтверждает приемлемость принятой простейшей модели обнаружения и правомерность использованных в ходе расчета предположений о практической неизменности адаптации в области сумеречного зрения до $B = 10^{-3}$ нт и о возникновении одного импульса в зрительном анализаторе при эффективном поглошении одного кванта.

Поступило 3 III 1972

ЦИТИРОВАННАЯ ЛИТЕРАТУРА

¹ С. И. Вавилов, Микроструктура света, Изд. АН СССР, 1950. ² Е. Брумберг, С. Вавилов, Изв. АН СССР, ОМЕН, 919 (1933). ³ А. Rose, J. Opt. Soc. Ат., 38, № 2, 196 (1948). ⁴ А. В. Луизов, Природа, 40, № 7, 12 (1951). ⁵ Е. С. Ратнер, ДАН, 105, № 1 (1955). ⁶ А. Rose, Image Technology, June/july, 1970, р. 13. ⁷ А. М. Якобсон, Биол. журн., Армении, 22, № 1 (1969). ⁸ В. В. Мешков, Основы светотехники, ч. 2, 1961. ⁹ S. Несht, J. Opt. Soc. Ат., 32, № 1 (1942). ¹⁰ Н. R. В Іаскwell, J. Opt. Soc. Ат., 36, № 11, 624 (1946). ¹¹ Д. Д. Максутов, Астрономическая оптика, М.— Л., 1946. ¹² В. В. Мешков, Осветительные установки, М.— Л., 1947. ¹³ Е. С. Ратнер, Ю. З. Мацковская, Оптико-механическая промышленность, № 2 (1972).